

# طراحی ساختار نانو دیسک از فسفولیپید اسفنگومیلین جنین جوجه (DPSM) و کلسترول (CHOL) و مطالعه شکل گیری آن: شبیه سازی دینامیک مولکولی دانه درشت

جلیل پرچکانی چوزکی و مجید تقدیر\*

ایران، تهران، دانشگاه تربیت مدرس، دانشکده علوم زیستی، گروه بیوفیزیک

تاریخ دریافت: ۱۳۹۷/۱۲/۱۹ تاریخ پذیرش: ۱۳۹۸/۰۱/۱۹

## چکیده

نانو دیسکهای دولایه ساختارهایی هستند که از دولایه غشایی فسفولیپیدی تشکیل شده‌اند و بین دولایه محتویات یا مولکولهای آبی وجود ندارد. نانو دیسکهای چهارلایه در واقع شبیه سلول طبیعی هستند که از دو طرف بر آن فشار وارد شده است مثل ساختار گلبول قرمز خون که از دو طرف فرورفتگی دارد. ساختار نانو دیسک قادر است داروهای محلول در آب را در بخش سطحی آبدوست خود و داروهای محلول در چربی را در داخل دولایه خود که محیط آبگریز است، پوشش دهد. سنتز نانو دیسکها در محیط آزمایشگاهی و تجربی بسیار زمان‌بر و هزینه‌بر است. لذا در این تحقیق ساختار نانو دیسکی با ترکیبی از مولکولهای اسفنگومیلین جنین جوجه (CHOL) و کلسترول (DPSM) طراحی و ساخته شد. که برای انجام این کار از رویکرد شبیه سازی دینامیک مولکولی استفاده شد. بعد از انجام فرآیند شبیه سازی، نتایج و آنالیزهای به دست آمده از مطالعه شبیه سازی دینامیک مولکولی نشان داد که مولکولهای انتخابی ساختار نانو دیسکی ایجاد کردند که ناشی از خواص شیمی‌فیزیکی فسفولیپید اسفنگومیلین جنین جوجه و مولکول کلسترول است. لازم به ذکر است که فسفولیپید اسفنگومیلین جنین جوجه ساختار هندسی مخروطی و همچنین گروه سری بزرگتری نسبت به لیپیدهای دیگر داشته که موجب می‌شود که تمایل این مولکول به ایجاد ساختار نانو دیسکی زیاد شود. مولکول کلسترول در بین فسفولیپیدهای اسفنگومیلین جنین جوجه قرار می‌گیرد و با آنها میانکش برقرار می‌کند. این ویژگی مولکول کلسترول باعث افزایش پایداری ساختار نانو دیسک می‌شود. آنالیزهای انرژی شامل انرژی کل، انرژی میانکش‌های واندروالس و الکترواستاتیک نشان دادند که ساختار نانو دیسک ایجاد شده به ثبات و پایداری مناسبی رسیده است.

**واژه‌های کلیدی:** شبیه سازی دینامیک مولکولی، نانو دیسک، شکل گیری نانو دیسکها، کلسترول، اسفنگومیلین جنین جوجه

\* نویسنده مسئول، تلفن: ۰۲۱۸۲۸۸۴۷۱۷، پست الکترونیکی: taghdir@modares.ac.ir

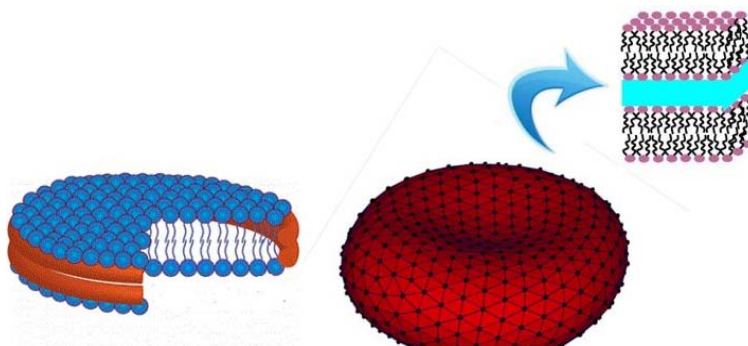
## مقدمه

هستند که کارهای متنوعی در سلول انجام می‌دهند که شامل شرکت در ساختار و کار غشای سلولی، شرکت در انعقاد خون و ایجاد اسید آراشیدونیک که پروستا گلاندینها را می‌سازد. به طور کلی دو نوع فسفولیپید وجود دارد (۵۰). اگر در ساختار آنها گلیسرول وجود داشته باشد به آنها گلیسروفسفولیپیدها یا فسفوگلیسرید می‌گویند که مهمترین نوع فسفولیپیدهای است. اگر در ساختار آنها اسفنگوگویزین باشد به آنها اسفنگوفسفولیپید می‌گویند. هر دو

لیپیدها زیست مولکولهای متنوعی هستند که از نظر خواص فیزیکی به ویژه حلالیت با هم مشابهت دارند. خاصیت اصلی آنها نامحلول بودنشان در آب است. این مولکولها در ساختار غشای سلول وجود دارند، در داخل میتوکندریها یافت می‌شوند، در ساختمان لیپوپروٹئینها وجود دارند و حتی وظیفه نقل و انتقال چربیها را به عهده دارند. لیپیدها به انواع مختلفی تقسیم بندی می‌شوند (۱، ۲ و ۱۷). فسفولیپیدها گروه ویژه و تخصص یافته‌ای از چربیها

ساختارها را می‌توان در بحث انتقال دارو و مهندسی طراحی دارو استفاده کرد (۱۰). به طوری که امروزه خیلی از داروها را برروی ساختارهای نانودیسک ثبت می‌کنند و آنها را داخل بدن بیمار می‌فرستند (۳۲). نانودیسکهای کروی را می‌توان به دو نوع عمدۀ تقسیم کرد: ۱- نانودیسکهای کروی دولایه ۲- نانودیسکهای کروی چهارلایه غشایی. نانودیسکهای دولایه ساختارهایی هستند که دولایه غشایی فسفولیپیدی برروی هم قرار گرفته‌اند و بین دولایه محتويات یا مولکولهای آبی وجود ندارد. نانودیسکهای چهارلایه در واقع شبیه سلول طبیعی هستند که از دو طرف دارای فرورفتگی هستند. مثل ساختار گلبول قرمز خون که از دو طرف فرورفتگی دارد. داخل لومن ساختار نانودیسک چهارلایه‌ای می‌تواند محتويات یا مولکولهای آب وجود داشته باشد (۴۳، ۴۶ و ۵۱). شکل ۱ ساختار نانودیسک کروی دولایه‌ای و چهارلایه‌ای را نشان می‌دهد.

نوع اجزاء ساختاری غشاها هستند و در تولید سیگنالهای عصبی و داخل سلولی نقش دارند (۸). گلیسرول فسفولیپیدها متشکل از یک مولکول گلیسرول و دو اسید چرب و یک گروه فسفات بر روی کربن ۳ می‌باشد که به این مجموعه اسید فسفاتیدیک یا فسفاتیدیل گویند که پایه ای برای بیوستر فسفولیپیدها می‌باشد. به عبارت دیگر ساده ترین نوع فسفولیپیدها اسید فسفاتیدیک می‌باشد (۴۵). وقتی فسفولیپیدها در محیط آبی در کنار هم جمع می‌شوند، می‌توانند انواع ساختارها مثل ساختارهای دولایه‌ای، لیپوزوم کروی، ساختار میسلی، نانودیسک و ... را ایجاد کنند (۳۹). علاوه بر این برای تشکیل یکسری از این ساختهای مثل میسل نیاز است که لیپیدها ابتدا به یک غلظت خاصی (غلظت بحرانی میسل) برسند تا ساختار تشکیل شود. یکی از ساختارهایی که از تجمع فسفولیپیدها حاصل می‌شود ساختارهای نانودیسک دایره‌ای است (۱۲). ساختارهای نانودیسک رفتاری شبیه به غشای سلول دارند. همچنین این



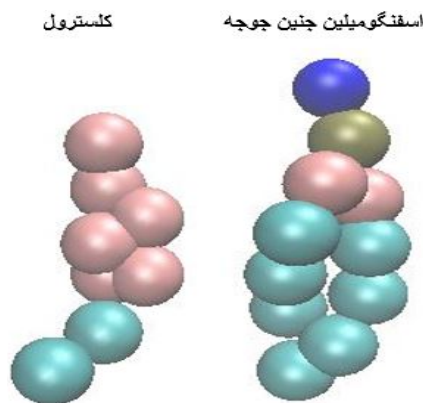
شکل ۱- ساختار شماتیک نانودیسک کروی دولایه‌ای و چهارلایه‌ای (۱۱)

است داروهای محلول در آب را در بخش سطحی آبدوست خود و داروهای محلول در چربی را در داخل دولایه خود که محیط آبگریز است، پوشش دهد. به طور کلی اهمیت نانودیسکها در پزشکی و داروسازی را می‌توان به دو حیطه درمان و تشخیص بیماریها تقسیم کرد. از نانودیسکها به عنوان یک ابزار، یک مدل و یا یک معرف در مطالعات پایه از قبیل فعل و افعالات سلول، فرآیندهای شناخت و نحوه عمل مواد خاص استفاده می‌شود. در تهیه

نانودیسکها می‌توانند از اجزای مختلفی تولید شوند. مهمترین اجزاء تشکیل دهنده ساختار نانودیسکها شامل لیپیدها (به ویژه فسفولیپیدها) و کلسترول است. که معمولاً تعداد یا غلظت فسفولیپیدها بیشتر از تعداد یا غلظت کلسترول در ساختار نانودیسکها مورد استفاده قرار می‌گیرد. فرمولاسیون نانودیسکها را از نظر محتوای مواد دارویی، پایداری و جذب سلولی می‌توان از طریق تغییر پارامترهای فیزیکوشیمیایی بهینه سازی کرد. ساختار نانودیسک قادر

## مواد و روشها

شبیه سازی سیستمهای زیستی پیچیده مثل ساختارهای تشکیل شونده‌ای چون غشای دولایه، لیپوزوم، میسلها، نانوفیبرها و سایر ساختارهای بزرگ بسیار طولانی و زمان‌بر است. در این تحقیق نیز چون قرار بود ساختار نانو دیسک ایجاد شود و مشکل طولانی بودن زمان شبیه‌سازی وجود داشت، از رویکرد شبیه‌سازی دینامیک مولکولی دانه درشت استفاده شد. شبیه‌سازی دانه درشت این امکان را فراهم می‌کند که اتمهای مشابه نزدیک هم را به صورت یک کره در نظر گرفت. چالش اولیه در این تحقیق انتخاب فسفولیپیدهای های مناسب بود. لازم بود که فسفولیپیدهایی انتخاب شوند که گزینه مناسبی برای انجام شبیه سازی دینامیک مولکولی باشند. یعنی فسفولیپیدهایی انتخاب می‌شدند که دارای میدانهای نیروی مشخص بودند و قابلیت شبیه سازی آنها نیز در نرم افزار گرومکس فراهم می‌شد. به همین خاطر مولکولهای اسفنگومیلین جنین چوجه و کلسترول انتخاب شدند. مختصات داده اولیه این مولکولها به صورت حالت دانه درشت از سایت چارم (<http://www.charmm-gui.org>) دریافت شد (شکل ۲).



شکل ۲- ساختار دانه درشت مولکولهای اسفنگومیلین جنین چوجه و کلسترول

مولکول اسفنگومیلین جنین چوجه دارای گروهها یا دانه هایی شامل: NC3 (به رنگ آبی)، PO4 (به رنگ

نانو دیسکها معمولاً از فسفولیپیدهای با منشاء زیستی استفاده می‌شود. در فسفولیپیدهای حاصل از منابع طبیعی، زنجیرهای آسیل بسته به منبع استخراج متفاوت است که این امر موجب می‌شود بتوان که ساختارهای متنوعی را طراحی کرد. به علاوه ذخایر فسفولیپیدی که در ساختار نانو دیسکها استفاده می‌شوند به مرور زمان چهار هیدرولیز استری می‌شوند، که در طی آن یکی از زنجیرهای آسیل از فسفولیپید جدا شده و به لیزو فسفولیپید تبدیل می‌شود. همچنین اگر در زنجیرهای آسیل پیوند غیر اشاعر وجود داشته باشد پراکسیداسیون رخ می‌دهد. به دلایلی که در بالا ذکر شد مواد خامی که در ساختار نانو دیسکها استفاده می‌شوند کیفیت بالایی ندارند. همچنین سنتز نانو دیسکها در محیط آزمایشگاهی و تجربی بسیار زمان بر و هزینه بر است. علاوه بر این اصلی‌ترین مانع در تکنولوژی نانو دیسکها به خصوص در استفاده از آنها به عنوان حامل دارو، عدم پایداری آنها به مدت طولانی می‌باشد. پایداری فیزیکی و شیمیایی نانو دیسکها تحت تأثیر عوامل مختلفی است که می‌توانند بر روی میزان پایداری نانو دیسکها و کارایی نفوذ دارو در آنها اثر بگذارند. به همین خاطر نیاز است که شرایط پایداری نانو دیسکها برای مدت طولانی فراهم شود. با محدودیتهایی که در روش‌های تجربی وجود دارد و در بالا به آنها اشاره شد، از روش‌های تئوری به عنوان روش‌های تکمیلی برای مطالعه نانو دیسکها می‌توان استفاده کرد. در این تحقیق هدف دستیابی به یک ساختار نانو دیسک بهینه است. با توجه به اینکه ساختارهای نانو دیسک رفتاری شبیه به غشای سلول دارند، از آنها در مهندسی سلولی و زیست فناوری استفاده می‌شود(۴، ۹، ۴۲ و ۵۴). لذا در این تحقیق از رویکرد شبیه سازی دینامیک مولکولی استفاده شد و ساختارهای نانو دیسک طراحی و ایجاد گردیدند. مولکولهایی که در ساختار نانو دیسک مورد استفاده قرار گرفتند شامل مولکولهای اسفنگومیلین جنین چوجه و کلسترول هستند.

دوره‌ای برای سیستم در نظر گرفته شد و مولکولهایی که از یک سمت جعبه خارج می‌شوند دوباره از سمت دیگر وارد جعبه شبیه‌سازی می‌شوند. سپس به ترتیب مولکولهای اسفنگومیلین جنین جوجه و کلستروول به داخل جعبه اضافه شدند. تعداد مولکولهای اضافه شده برابر ۸۱۱ مولکول اسفنگومیلین جنین جوجه و ۵۳۹ مولکول کلستروول است. در نهایت مولکولهای آب به تعداد ۵۹۵۶۰ مولکول، به منظور آب‌پوشی سیستم اضافه شدند. (شکل ۳). نوع آب مورد استفاده در این تحقیق آب حالت دانه درشت و قطبی است (۱۵، ۱۶، ۱۷، ۱۸، ۱۹ و ۲۱-۲۸).

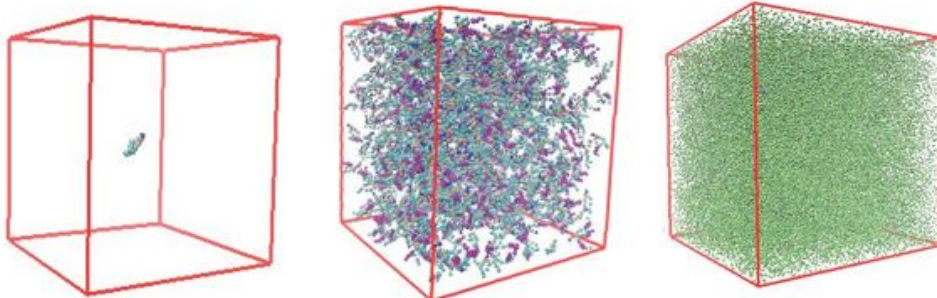
خاکستری)، AM1 و AM2 (به رنگ صورتی)، T1A، C2A، C1B، C3B و C4B (به رنگ فیروزه‌ای) است. مولکول کلستروول هم دارای دانه‌هایی شامل: R4، R3، R2 و R5 (به رنگ صورتی)، C1 و C2 (به رنگ فیروزه‌ای) است.

نرم افزار گرومکس نسخه ۵,۰,۱ برای این تحقیق مورد استفاده قرار گرفت. در ابتدا از یک مولکول اسفنگومیلین جنین جوجه برای ساخت جعبه استفاده شد. جعبه شبیه سازی به شکل مکعبی و در ابعاد  $۲۰*۲۰*۲۰$  نانومتر تعریف شد. فاصله ساختار ایجاد شده از کناره‌های جعبه  $۰/۳$  نانومتر در نظر گرفته شد. همچنین حالت شرایط مرزی اضافه کردن مولکول‌های آب

#### تعريف جعبه

#### اضافه کردن مولکول‌های لیبد

#### اضافه کردن مولکول‌های آب



شکل ۳- مراحل تعریف جعبه (مولکول اسفنگومیلین جنین جوجه در وسط جعبه است)، اضافه کردن مولکولهای لیبد و اضافه کردن مولکولهای آب

در نظر گرفته شد. پارامترهای vdw\_type و coulombtype به صورت cut-off تعريف شدند و الگوریتمهای تعريف شده برای پارامترهای tcoupl، pcoupl و cutoff-scheme به ترتیب شامل الگوریتمهای berendsen، v-rescale و verlet است (۲۲، ۲۳، ۲۴، ۲۵ و ۲۷).

#### نتایج و بحث

نتایج حاصل از شبیه‌سازی، با رویکرد بررسی شکل گیری ساختار نانودیسک صورت گرفت. آنالیزها به منظور بررسی شکل گیری ساختار نانودیسک مورد استفاده قرار گرفتند که شامل آنالیزهای شعاع زیراکسیون، خطای جذر میانگین مربعات، تابع توزیع شعاعی، ناحیه سطح در دسترس

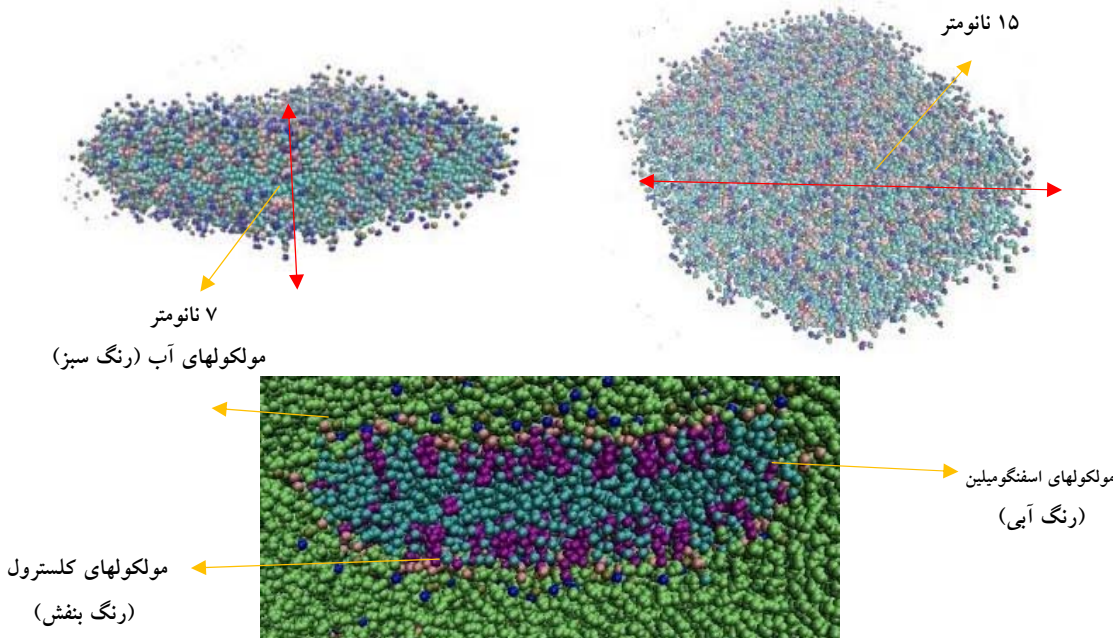
در این مطالعه یک فرآیند شبیه سازی دینامیک مولکولی به مدت ۱۰۰۰ نانوثانیه (۱ میکروثانیه) انجام شد. تمام شبیه‌سازیها با نرم افزار گرومکس نسخه ۵,۰,۱ و میدان نیروی مارتینی انجام شد. مرحله بهینه‌سازی انرژی، ۵۰۰۰ گام و به روش شدیدترین نزول صورت گرفت. تعادل‌رسانی در حجم ثابت برای تنظیم دما روی ۴۰۰ درجه کلوین و تعادل‌رسانی در فشار ثابت برای تنظیم فشار روی یک اتمسفر، به مدت ۲ نانوثانیه صورت گرفت. در نهایت مرحله شبیه‌سازی اصلی (مرحله تولید) به مدت ۱ میکروثانیه انجام شد. ورودیایی فایل اصلی mdp نیز تنظیم گردید. مقدار تایم استپ در مرحله تولید و در فایل mdp برروی ۲۰ فمتو ثانیه تنظیم شد. پارامتر nstlist مقدارش ۱۰

**شكل گیری ساختار نانودیسک:** در این مطالعه هدف اصلی طراحی و ساخت ساختار نانودیسک از فسفولیپید اسفنگومیلین و مولکول کلسترول و بررسی شکل گیری آن است. که به این منظور از رویکرد شبیه سازی دینامیک مولکولی دانه درشت استفاده شد. با استفاده از فایلهای حاصل از فایل مسیر شبیه سازی، پارامترهایی در شکل-گیری ساختار و همچنین انرژیها استخراج شدند. و نتایج به دست آمده نشان داد که نانودیسک طراحی شده به خوبی در محیط شبیه سازی تشکیل شده است. شکل ۴ ساختارنهایی ایجاد شده بعد از ۱ میکروثانیه شبیه سازی را نشان می‌دهد. علاوه بر این موقعیت مولکولهای اسفنگومیلین، کلسترول و آب و همچنین ابعاد نانودیسک ایجاد شده در شکل آمده است.

حلال، انرژی میانکنشهای واندروالسی، انرژی میانکنشهای الکترواستاتیک و انرژی کل می‌باشد.

امروزه نیاز روزافرون وجود دارد تا ساخت نانودیسکها در آزمایشگاهها پیشرفت داده شود و بهبود یابد. این نیاز باعث شده است که استفاده از شبیه سازی دینامیک مولکولی در حیطه طراحی و ساخت نانودیسکها بسیار مهم باشد. شبیه سازی دینامیک مولکولی به عنوان یک ابزار اولیه کمک می‌کند تا روند شکل گیری نانودیسکها و عوامل مؤثر در پایداری و شکل گیری آنها مورد مطالعه قرار گیرد. با استفاده از شبیه سازی دینامیک مولکولی می‌توان سهم هر کدام از میانکنشهای پیوندی و غیرپیوندی در تشکیل نانودیسکها را به دست آورد و در نهایت با کسب چنین نتایجی می‌توان نانودیسکهایی با ساختار و عملکرد بهینه سنتر نمود. که این عامل باعث صرفه جویی در هزینه و زمان می‌شود.

نمای جانبی (برش داده شده)



شکل ۴- ساختارنهایی نانودیسک ایجاد شده در محیط شبیه سازی گرومکس

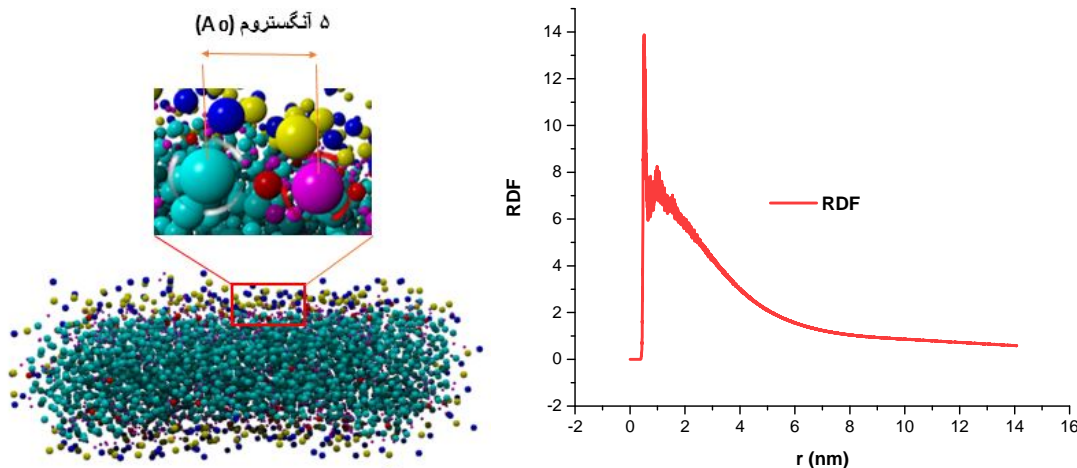
و غشای دولایه را دارد. همچنین این فسفولیپید به خاطر وجود ریشه اسفنگوکوئین در گروه سری دارای سر قطبی

DPSM چون دارای ساختار هندسی محرک طی شکل است، تمایل به ایجاد ساختارهای نانودیسکی دولایه

ساختار نانودیسک انجام شد (۳۷-۳۳). در این آنالیز اتمهای فسفر در فسفولیپید اسفنگومیلین جنین جوچه به عنوان اتمهای رفرنس در نظر گرفته شدند (۴۳ - ۳۳). ساختار نانودیسک ایجاد شده دارای ساختار همگن است که موجب می‌شود RDF این ساختار در یک فاصله خاص (۵، ۵۰ نانومتر یا ۵ آنگستروم) افزایش یافته و بعد از این فاصله مشخص، افت چشم‌گیری داشته است (۴۰، ۴۱، ۴۴ و ۴۷). آنالیز به خوبی نشان می‌دهد که نانودیسک شکل گرفته و ساختار نهایی آن به صورت یک نانودیسک دایره‌ای دولایه است (شکل ۵).

بزرگ است که از تمايل اين ليبيد برای ايجاد ساختار ليپوزومي ميكاهد. نكته ديگر اين است که استفاده كلستروول در ساختار نانوديسك باعث افزايish پايداري مي‌شود. در واقع طبق مقالات ارائه شده، كلستروول موجود در ساختار نانوديسك توانايي اين را دارد که با ليبيد مجاور خود پيوند هيدروژني برقرار کند و اين عامل باعث افزايish پايداري نانوديسك مي‌شود. وجود كلستروول در ساختار نانوديسك نقش كمتری در شروع شكل گيری ساختاردارد، اما بعد از شكل گيری اوليه نانوديسكها، وجود كلستروول باعث پايداري ساختار مي‌شود (۳ و ۳۰).

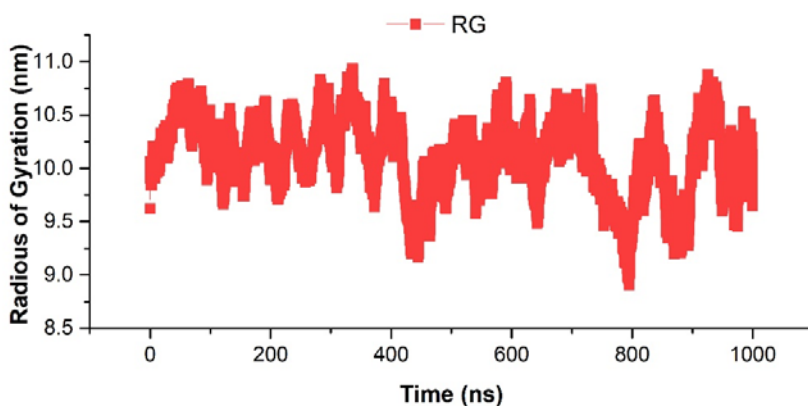
آنالیز تابع توزیع شعاعی radial distribution function (RDF) برای بررسی شکل‌گیری و توزیع لیپیدها در



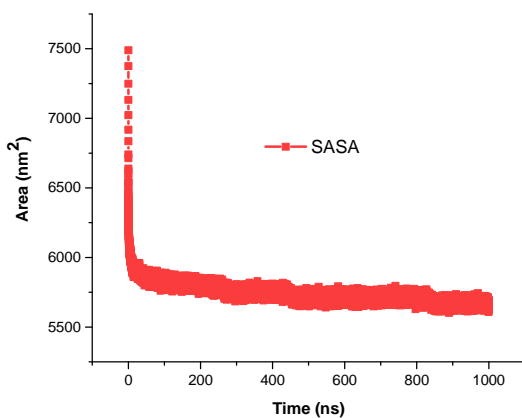
شکل ۵- آنالیز تابع توزیع شعاعی که نشان دهنده شکل گیری ساختار نانودیسک دایره‌ای دولایه در محیط شبیه سازی است

ساختار در مرحله تعادل‌سازی صورت می‌گیرد و در مرحله شبیه سازی اصلی تغییر چندانی در شعاع ژیراسیون مشاهده نمی‌شود. در این مرحله تغییرات زیادی در شعاع ژیراسیون دیده نمی‌شود و شعاع ژیراسیون در یک آستانه تقریباً ثابت است که همین امر تأیید کننده شکل گیری ساختار مورد نظر است (شکل ۶ و ۲۰).

آنالیز شعاع ژیراسیون نیز به منظور بررسی میزان فشردگی ساختار صورت گرفت. طبق نمودار شعاع ژیراسیون، مقدار شعاع ژیراسیون در طول زمان شبیه‌سازی تقریباً ثابت است و تغییر چندانی نکرده است. دلیل چنین اتفاقی این است که در شبیه‌سازی سیستمهای مونتاژ شونده مثل غشاها، لیپوزوم، نانودیسکها و سایر ساختارها، جمع شدگی اصلی



شکل ۶- آنالیز شعاع ژیراسیون که به منظور بررسی شکل گیری و میزان فشردگی ساختار انجام شد و نمودار مقدار ثابتی را از شعاع ژیراسیون نشان می‌دهد که بیانگر این موضوع است که ساختار نانو دیسک ایجاد شده، فشرده شده است.



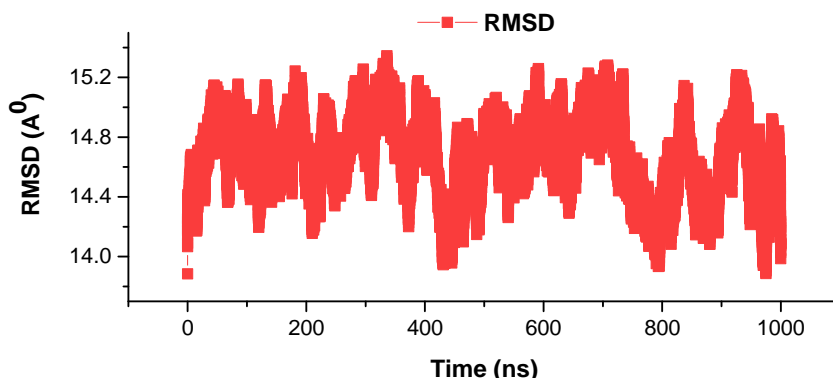
شکل ۷- آنالیز ناحیه سطح در دسترس حلال که با یک روند نزولی آغاز می‌شود و بیانگر این است که ساختار نانو دیسکی در محیط شبیه سازی شکل گرفته است.

این پارامتر مقیاسی است که تفاوت‌های بین مقادیر پیش‌بینی شده توسط یک مدل یا تخمین را نسبت به یک RMSD مقدار واقعی برای یک متغیر خاص بیان می‌کند. هر ساختار نسبت به ساختار قبل آن در نظر گرفته می‌شود. شکل ۸ آنالیز این پارامتر را برای نانو دیسک ایجاد شده نشان می‌دهد. همان طور که در شکل ۸ مشخص است این مقدار بعد از حدود ۶۰ نانو ثانیه از زمان شبیه سازی پایدار شده‌اند و به ثبات ساختاری رسیده‌اند. افت و خیزهایی که بعد از زمان ۶۰ نانو ثانیه و ثبات سیستم مشاهده می‌شود به این علت است که سیستمهای تجمع شونده مثل نانو دیسکها

ناحیه سطح در دسترس حلال (Solvent-accessible surface area (SASA)) یکی از آنالیزهایی است که برای شکل گیری ساختارهای غشایی و نانو دیسکی استفاده می‌شود. ناحیه سطح در دسترس یا ناحیه سطح در دسترس حلال، سطح یک بیومولکول یا ترکیب شیمیابی است که به حلال دسترسی دارد. اندازه گیری ناحیه سطح در دسترس معمولاً در واحد مربع آنگستروم تعریف می‌شود (۷ و ۴۹). طبق مقالات ارائه شده با شکل گیری نانو دیسکها و ساختارهای غشایی از میزان ناحیه سطح در دسترس حلال کاسته می‌شود. در این تحقیق نیز با نزدیک شدن مولکولهای لیپید در کنار همیدیگر از میزان ناحیه سطح در دسترس حلال نسبت به مولکولهای آب کاسته شد و در نتیجه در نمودار مربوطه از میزان ناحیه سطح در دسترس حلال کاسته شد. در شکل ۷ آنالیز ناحیه سطح در دسترس حلال در طول زمان شبیه سازی کاهش یافته است که نشان می‌دهد که ساختار نانو دیسک شکل گرفته است (۶ و ۴۸). انحراف جذر میانگین مربعات (root-mean-square deviation (RMSD)) تفاوت میان مقدار پیش‌بینی شده توسط مدل یا برآوردگر آماری و مقدار واقعی می‌باشد. پارامتر RMSD برای بررسی پایداری و ثبات مولکولهای زیستی شبیه سازی شده مورد استفاده قرار می‌گیرد.

دارای پایدار ساختاری مناسب در نظر گرفت که میزان RMSD با انحرافات کمتر داشته باشد (۵ و ۳۱).

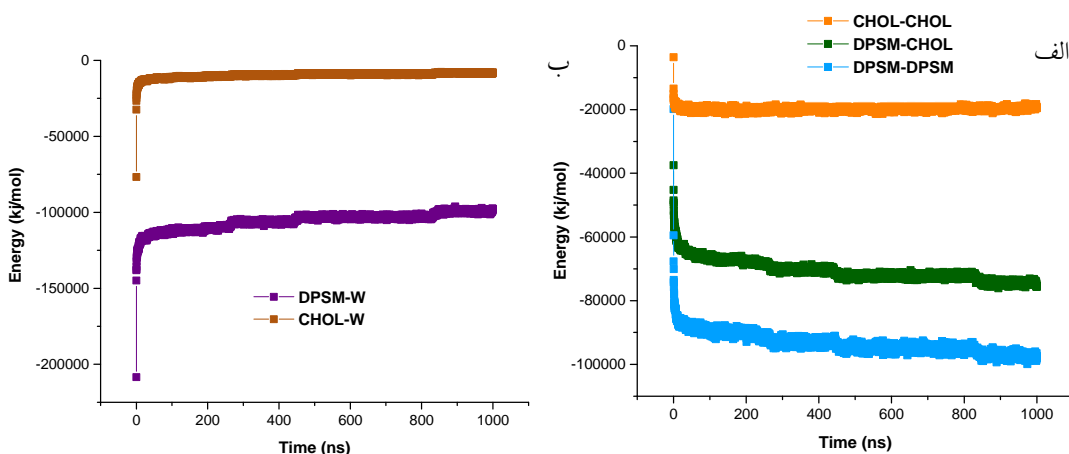
ساختارهایی بسیار منعطف هستند و موجب تغییر لحظه‌ای نمودار RMSD می‌شوند. در واقع ساختاری را می‌توان



شکل ۸- آنالیز پارامتر RMSD برای ساختار نانو دیسک ایجاد شده، که بیانگر میزان پایداری و ثبات مناسب برای ساختار است.

واندروالسی افزوده می‌شود و در نمودار منفی‌تر می‌شوند. فسفولیپیدهای DPSM-DPSM در ابتدای شبیه‌سازی ۹۰۰۰۰ کیلوژول بر مول و در انتهای شبیه‌سازی ۳۷۰۰۰ کیلوژول بر مول، جفت لیپیدهای DPSM-CHOL به ترتیب ۶۵۰۰۰ و ۲۰۰۰۰ کیلوژول بر مول و جفت لیپیدهای CHOL-CHOL به ترتیب ۵۰۰۰ و ۲۰۰۰۰ کیلوژول بر مول انرژی در ابتدا و انتهای شبیه‌سازی دارند. همان طور که در شکل ۹-الف نیز مشخص است جفت فسفولیپیدهای DPSM-DPSM بیشترین میزان میانکنشهای واندروالسی را بین خود برقرار کرده‌اند و دارای بیشترین انرژی هستند (۹۰۰۰۰ کیلوژول بر مول) و در نتیجه بیشترین نقش را در پایداری نانو دیسک در حیطه میانکنشهای واندروالسی دارند. بعد از جفت فسفولیپیدهای DPSM-DPSM ، به ترتیب جفت لیپیدهای CHOL-CHOL (۶۵۰۰۰ کیلوژول بر مول) و جفت لیپیدهای CHOL-CHOL (۲۰۰۰۰ کیلوژول بر مول) بیشترین میزان میانکنشهای واندروالسی را بین هم‌دیگر برقرار می‌کنند. شکل ۹-ب انرژی میانکنشهای واندروالسی بین مولکولهای DPSM و CHOL و مولکولهای آب را نشان می‌دهد. که میزان انرژی میانکنشهای واندروالسی مولکول DPSM با مولکولهای آب (DPSM-W) بیشتر از مولکولهای کلسترول (CHOL-W) است (۷ و ۳۸).

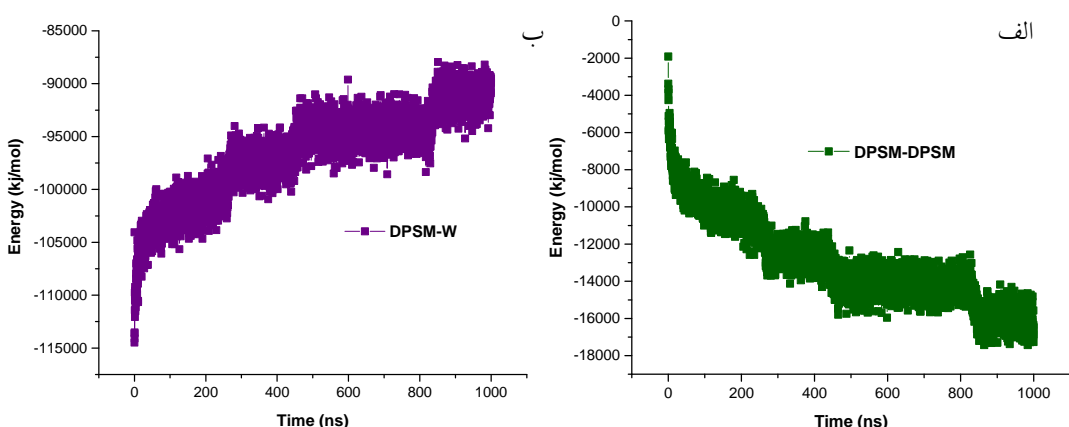
آنالیز انرژی میانکنشها در شکل گیری نانو دیسک: علاوه بر آنالیزهای بیان شده آنالیزهای انرژی نیز انجام داده شدند تا ثبات و پایداری ساختار ایجاد شده بررسی شود. همه آنالیزهای به دست آمده نشان می‌دهند که ساختار مورد نظر دارای میزان پایداری نهایی مناسب است. چون همه آنالیزهای انرژی انجام شده نشان دادند که بعد از سپری شدن ۳۰ نانو ثانیه از شبیه سازی سیستم به ثبات رسیده است. ابتدا انرژی میانکنشهای واندروالسی برای هر کدام از جفت لیپیدها به دست آمد تا سهم هر کدام از آنها در شکل گیری ساختار نانو دیسک به دست آید. فسفولیپید اسفنگومیلین جنین جوجه و مولکول کلسترول دارای بخش هیدروفوبیک در ساختار خود هستند. این مولکولها در این مناطق از ساختارهای خود می‌توانند میانکنشهای واندروالسی را ایجاد کنند. در واقع زمانی که ساختار نانو دیسک ایجاد می‌شود این مولکولها در کنار یکدیگر قرار می‌گیرند و چون در فاصله واندروالسی یکدیگر قرار دارند می‌توانند میانکنشهای واندروالسی را ایجاد کنند. فاصله واندروالسی می‌تواند بین ۱ تا ۱۰ آنگستروم باشد. همان طور که در شکل ۹-الف مشخص است در ابتدای شبیه سازی انرژی میانکنشهای واندروالسی کم است ولی بعد از سپری شدن زمان در محیط شبیه سازی، با تشکیل میانکنشهای واندروالسی، به میزان انرژی میانکنشهای



شکل ۹- نمودار مقایسه‌ای انرژی میانکنشهای واندروالسی مولکولهای CHOL و DPSM (الف) انرژی میانکنشهای واندروالسی بین لیپیدهای DPSM در نانو دیسک ساخته شده (ب) انرژی میانکنشهای واندروالسی بین مولکولهای DPSM-CHOL ، DPSM-DPSM و مولکولهای آب و CHOL و مولکولهای آب

نیامد که این امر به خاطر عدم درگیر شدن کلسترول در تشکیل میانکنشهای الکترواستاتیک است و انرژی الکترواستاتیک کلی در ساختار نانو دیسک فقط حاصل فسفولیپید DPSM است. در شکل گیری نانو دیسکها میانکنشهای الکترواستاتیک بعد از میانکنشهای واندروالسی ایجاد می‌شوند. شکل ۱۰-الف انرژی میانکنشهای الکترواستاتیک بین جفت فسفولیپیدهای DPSM-DPSM و شکل ۱۰-ب بین فسفولیپیدهای DPSM و مولکولهای آب را نشان می‌دهد (۲۶ و ۲۹).

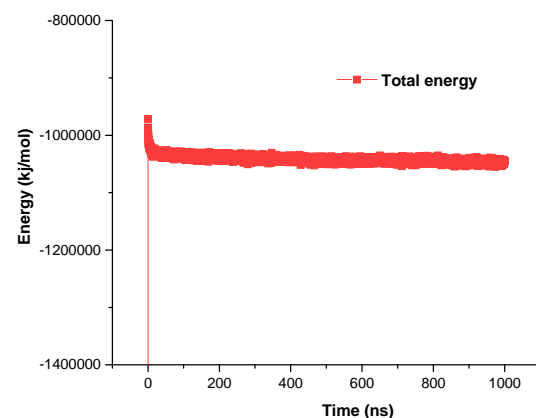
علاوه بر انرژی میانکنشهای واندروالسی انرژی میانکنشهای الکترواستاتیک نیز برای نانو دیسک ساخته شده به دست آمد. همان طور که در شکل ۱۰ مشخص است ابتدا انرژی DPSM-DPSM برای ساختار نانو دیسک کم و به مقدار ۲۰۰۰ کیلوژول بر مول است. ولی با سپری شدن زمان شبیه سازی، با تشکیل میانکنشهای الکترواستاتیک، به میزان انرژی میانکنشهای الکترواستاتیک افزوده می‌شود که برابر ۱۷۲۰۰ کیلوژول بر مول شده است. در ساختار نانو دیسک ساخته شده میانکنشهای الکترواستاتیک مرتبط با کلسترول به دست



شکل ۱۰- نمودار انرژی میانکنشهای واندروالسی (الف) بین جفت فسفولیپیدهای DPSM-DPSM (ب) بین فسفولیپیدهای DPSM و مولکولهای آب

نانودیسکی متراکم و واحدی شکل گرفته است و فسفولیپیدها با توزیع همگنی در کنار یکدیگر تجمع یافته‌اند. آنالیز ناحیه سطح در دسترس حال دارای نمودار با روند نزولی است که بیانگر تجمع فسفولیپیدها در کنار همدیگر و ایجاد ساختار نانودیسک است. آنالیزهای انرژی شامل انرژی کل، انرژی میانکنشهای واندروالس و الکترواستاتیک نشان دادند که ساختار نانودیسک ایجاد شده به ثبات و پایداری مناسبی رسیده است. تشکیل ساختارهای نانودیسک دایره‌ای ناشی از خواص شیمی-فیزیکی فسفولیپید اسفنگومیلین جنین جوجه و مولکول کلستروول است. لازم به ذکر است که در ساختار نانودیسک ایجاد شده از فسفولیپید اسفنگومیلین جنین جوجه استفاده گردید که این فسفولیپید ساختار هندسی مخروطی شکل و همچنین گروه سری بزرگتری نسبت به لیپیدهای دیگر داشته که موجب می‌شود که تمایل این مولکول به ایجاد ساختار نانودیسکی زیاد شود. فسفولیپیدهای اسفنگومیلین جنین جوجه و مولکول کلستروول (حلقه‌های آروماتیک) که در همسایگی یکدیگر در ساختار نانودیسک هستند، با یکدیگر میانکنشهای واندروالسی برقرار می‌کنند. همچنین فسفولیپیدهای اسفنگومیلین جنین جوجه با همدیگر نیز میانکنشهای واندروالسی و الکترواستاتیک برقرار می‌کنند. که این میانکنشهای ایجاد شده، روند شکل‌گیری ساختار نانودیسک دایره‌ای را تسهیل می‌نمایند. هدف در این تحقیق دستیابی به یک ساختار نانودیسک بهینه بود که امروزه در حیطه‌های مختلف کاربرد دارد. با توجه به اینکه ساختارهای نانودیسک رفتاری شبیه به غشای سلول دارند، از آنها در مهندسی سلولی و زیست فناوری استفاده می‌شود. همچنین این ساختارها را می‌توان در بحث انتقال دارو و مهندسی طراحی دارو استفاده کرد. به طوری که امروزه خیلی از داروها را بروی ساختارهای نانودیسک تثبیت می‌کنند و آنها را داخل بدن بیمار می‌فرستند.

در نهایت آنالیز انرژی کل برای ساختار نانودیسک ساخته شده به دست آمد. همان طور که در شکل ۱۱ مشخص است ساختار نانودیسک بعد از ۲۰ نانوثانیه سپری شدن از زمان شبیه‌سازی به پایداری مناسبی رسیده است. که بعد از رسیدن به ثبات و پایداری دارای انرژی معادل ۱۰۵۰۰۰ کلیوژول بر مول است.



شکل ۱۱- آنالیز انرژی کل ساختار نانودیسک ساخته شده، که نشان می‌دهد ساختار مورد نظر به پایداری ثابتی رسیده است و شکل‌گیری تمام شده است.

### نتیجه‌گیری

در این تحقیق ساختار نانودیسک طراحی و ساخته شد. که برای انجام این کار از رویکرد شبیه‌سازی دینامیک مولکولی استفاده شد. برای انجام شبیه‌سازی مولکولهای اسفنگومیلین جنین جوجه (CHOL) و کلستروول (DPSM) انتخاب شدند. شبیه‌سازی به مدت ۱ میکروثانیه با استفاده از نرم افزار گرومکس نسخه ۵,۰,۱ صورت گرفت. نتایج و آنالیزهای به دست آمده از مطالعه شبیه‌سازی دینامیک مولکولی نشان داد که مولکولهای لیپیدی انتخابی ساختار نانودیسکی ایجاد کردند. آنالیز شعاع ثیراسیون و تابع توزیع شعاعی به منظور بررسی شکل‌گیری و توزیع لیپیدها انجام شدند و این آنالیزها به خوبی نشان دادند که ساختار

## منابع

خرداد ۱۳۹۶ ، بررسی نفوذ داروهای آسپرین و ایبوپروفن در غشاء دولاویه لبیدی به کمک شبیه سازی دینامیک مولکولی، مجله پژوهش های سلولی و مولکولی (زیست‌شناسی ایران)، انتشار آنلاین از تاریخ ۲۳ خرداد ۱۳۹۶

- 3- Aguayo-Ortiz, R., J. E. Straub, et al. (2018). "Influence of membrane lipid composition on the structure and activity of  $\gamma$ -secretase." *Physical Chemistry Chemical Physics* **20**(43): 27294-27304.
- 4- Bayburt, T. H., Y. V. Grinkova, et al. (2002). "Self-assembly of discoidal phospholipid bilayer nanoparticles with membrane scaffold proteins." *Nano Letters* **2**(8): 853-856.
- 5- Bayburt, T. H., Y. V. Grinkova, et al. (2006). "Assembly of single bacteriorhodopsin trimers in bilayer nanodiscs." *Archives of biochemistry and biophysics* **450**(2): 215-222.
- 6- Camargo, D. C. R., K. J. Korshavn, et al. (2017). "Stabilization and structural analysis of a membrane-associated hiAPP aggregation intermediate." *elife* **6**: e31226.
- 7- Camargo, D. C. R., K. J. Korshavn, et al. (2017). "Stabilization and structural analysis of a membrane-associated hiAPP aggregation intermediate." *elife* **6**: e31226.
- 8- Collaboration, E. R. F. (2009). "Major lipids, apolipoproteins, and risk of vascular disease." *JAMA: the journal of the American Medical Association* **302**(18): 1993.
- 9- Denisov, I., Y. Grinkova, et al. (2004). "Directed self-assembly of monodisperse phospholipid bilayer Nanodiscs with controlled size." *Journal of the American Chemical Society* **126**(11): 3477-3487.
- 10- Dietschy, J. M. and S. D. Turley (2004). "Thematic review series: brain Lipids. Cholesterol metabolism in the central nervous system during early development and in the mature animal." *Journal of lipid research* **45**(8): 1375-1397.
- 11- Fan, Y. and Q. Zhang, 2013, Development of liposomal formulations: From concept to clinical investigations. *Asian Journal of Pharmaceutical Sciences*. **8**(2): p. 81-87.
- 12- Feingold, K. R. (2007). "Thematic review series: skin lipids. The role of epidermal lipids
- 1- مریم کته شمشیری، مهوش خدابنده و همکاران، تابستان ۱۳۹۵ تاثیر سونیکا سیون برایجاد ترانسفرزوم حاوی هورمون رشد، مجله پژوهش های سلولی و مولکولی (زیست‌شناسی ایران) ، مقاله ۲۱۷-۲۰۹، دوره ۲۹، شماره ۲، صفحه ۲۳
- 2- غلامحسین صدیفیان، حسین رضایی مارنانی، فربیا رزمی منش، in cutaneous permeability barrier homeostasis." *Journal of lipid research* **48**(12): 2531-2546.
- 13- Emeje, M.O., et al. . 2012, *Nanotechnology in drug delivery*: INTECH Open Access Publisher
- 14- Flaminio, M.J.B., et al. 2007, *Journal of immune based therapies and vaccines Volume: 5 ISSN: p. 1476-8518 ISO Abbreviation: J Immune Based Ther Vaccines Publication Date*.
- 15- Gao, H., et al., 2014, Cell-penetrating peptide-based intelligent liposomal systems for enhanced drug delivery. *Current pharmaceutical biotechnology* **15**(3): p. 210-219.
- 16- Gabizon, A., et al., 1998, Development of liposomal anthracyclines: from basics to clinical applications. *Journal of controlled release*. **53**(1): p. 275-279.
- 17- Geers, B., et al, 2013, Targeted liposome-loaded microbubbles for cell-specific ultrasound-triggered drug delivery. *Small*, p. 4027-4035.
- 18- Geers, B., et al., Targeted liposome-loaded microbubbles for cell-specific ultrasound-triggered drug delivery. *Small*, 2 . ۱۳ :۲۳(۴) p. 4027-4035.
- 19- Ghadamgahi, M. and D. Ajloo, 2015, Molecular dynamics insight into the urea effect on Tretinoin encapsulation into carbon nanotube. *Journal of the Brazilian Chemical Society*. **26**(1): p. 185-195.
- 20- Hagn, F., M. Etzkorn, et al. (2013). "Optimized phospholipid bilayer nanodiscs facilitate high-resolution structure determination of membrane proteins." *Journal of the American Chemical Society* **135**(5): 1919-1925.
- 21- Heurtault, B., et al., 2003, Physico-chemical stability of colloidal lipid particles. *Biomaterials*. **24**(23): p. 4283-4300.
- 22- Hong, J.S., et al., 2010, Microfluidic Directed Self-Assembly of Liposome- Hydrogel Hybrid

- Nanoparticles. *Langmuir*. **26**(13): p. 11581-11588.
- 23- Ingram, T., et al., 2013, Prediction of micelle/water and liposome/water partition coefficients based on molecular dynamics simulations, COSMO-RS, and COSMOmic. *Langmuir*. **29**(11): p. 3527-3537.
- 24- Jc, D., G. Dm, and A. Ew. 2001, Prospects for gene therapy in lung disease.: p. 272-277.
- 25- Kanaoka, E., et al., 2001, A novel and simple type of liposome carrier for recombinant interleukin-2. *Journal of pharmacy and pharmacology*. **53**(3): p. 295-302
- 26- Kanaoka, E., et al., 2001, A novel and simple type of liposome carrier for recombinant interleukin-2. *Journal of pharmacy and pharmacology*. **53**(3): p. 295-302.
- 27- Kemmerer, S., J.C. Voss, and R. Faller, 2013. Molecular dynamics simulation of dipalmitoylphosphatidylcholine modified with a MTSL nitroxide spin label in a lipid membrane. *Biochimica et Biophysica Acta (BBA)-Biomembranes*. **1828**(11): p. 2770-2777.
- 28- Kloesch, B., et al., 2016, In Vitro Study of a Liposomal Curcumin Formulation (Lipocurc™): Toxicity and Biological Activity in Synovial Fibroblasts and Macrophages. *In Vivo*. **30**(4): p. 413-419.
- 29- Kong, X., et al., 2016, Spreading of a Unilamellar Liposome on Charged Substrates: A Coarse-Grained Molecular Simulation. *Langmuir*. **32**(15): p. 3785-3793.
- 30- Miller, A.D. 1998, Cationic liposomes for gene therapy. *Angewandte Chemie International Edition*. **37**(13-14): p. 1768-1785.
- 31- Mazhab-Jafari, et al. (2013). "Membrane-dependent modulation of the mTOR activator Rheb: NMR observations of a GTPase tethered to a lipid-bilayer nanodisc." *Journal of the American Chemical Society* **135**(9): 3367-3370.
- 32- Meyer, J. M. and C. E. Koro (2004). "The effects of antipsychotic therapy on serum lipids: a comprehensive review." *Schizophrenia research* **70**(1): 1-17.
- 33- Moghimi, S.M. and J. Szebeni, 2003, Stealth liposomes and long circulating nanoparticles: critical issues in pharmacokinetics, opsonization and protein-binding properties. *Progress in lipid research*. **42**(6): p. 463-478.
- 34- Noël, J., et al., 2009, The mechano-activated K<sup>+</sup> channels TRAAK and TREK-1 control both warm and cold perception. *The EMBO journal*. **28**(9): p. 1308-1318.
- 35- Pathak, S.K., et al., 2013, Effect of cholesterol concentration on size of liposome. *Journal of Pharmacy and Biological Sciences*. **1**: p. 50-53.
- 36- Pelisek, J., S. Armeanu, and S. Nikol, 2001, Evaluation of β-galactosidase activity in tissue in the presence of blood. *Journal of vascular research*. **37**(6): p. 5585-593.
- 37- Petruzielo, R. S., F. A. Heberle, et al. (2013). "Phase behavior and domain size in sphingomyelin-containing lipid bilayers." *Biochimica et Biophysica Acta (BBA)-Biomembranes* **1828**(4): 1302-1313.
- 38- Prakash, P., Y. Zhou, et al. (2016). "Oncogenic K-Ras binds to an anionic membrane in two distinct orientations: a molecular dynamics analysis." *Biophysical journal* **110**(5): 1125-1138.
- 39- Rainuzzo, J. R., K. I. Reitan, et al. (1997). "The significance of lipids at early stages of marine fish: a review." *Aquaculture* **155**(1-4): 103-115.
- 40- Reddy, M. J., H. S. Shetty, et al. (1992). "Role of seed lipids in Aspergillus parasiticus growth and aflatoxin production." *Journal of the Science of Food and Agriculture* **59**(2): 177-181.
- 41- Rigacci, L., et al., 2007, Liposome-encapsulated doxorubicin in combination with cyclophosphamide, vincristine, prednisone and rituximab in patients with lymphoma and concurrent cardiac diseases or pre-treated with anthracyclines. *Hematological oncology*. **25**(4): p. 198-203.
- 42- Ritchie, T., Y. Grinkova, et al. (2009). "Reconstitution of membrane proteins in phospholipid bilayer nanodiscs." *Methods in enzymology* **464**: 211-231.
- 43- Ritchie, T., Y. Grinkova, et al. (2009). "Reconstitution of membrane proteins in phospholipid bilayer nanodiscs." *Methods in enzymology* **464**: 211-231.
- 44- Sahoo, S.K. and V. Labhsetwar, 2003, Nanotech approaches to drug delivery and imaging. *Drug discovery today*. **8**(24): p. 1112-1120.
- 45- Sato, K. (2001). "Crystallization behaviour of fats and lipids—a review." *Chemical Engineering Science* **56**(7): 2255-2265.

- 1400، شماره ۲، جلد ۳۴
- 46- Schouten, S., E. C. Hopmans, et al. (2013). "The organic geochemistry of glycerol dialkyl glycerol tetraether lipids: a review." *Organic geochemistry* **54**: 19-61.
- 47- Seydel, J.K. and M. Wiese. 2009.; Drug-membrane interactions: analysis, drug distribution, modeling. . John Wiley & Sons.Vol. 15
- 48- Shih, A. Y., I. G. Denisov, et al. (2005). "Molecular dynamics simulations of discoidal bilayers assembled from truncated human lipoproteins." *Biophysical journal* **88**(1): 548-556.
- 49- Shih, A. Y., I. G. Denisov, et al. (2005). "Molecular dynamics simulations of discoidal bilayers assembled from truncated human lipoproteins." *Biophysical journal* **88**(1): 553-556.
- 50- Van Meer, G., D. R. Voelker, et al. (2008). "Membrane lipids: where they are and how they behave." *Nature reviews Molecular cell biology* **9**(2): 112.
- 51- Vestergaard, M., J. F. Kraft, et al. (2015). "Bicelles and other membrane mimics: comparison of structure, properties, and dynamics from MD simulations." *The Journal of Physical Chemistry B* **119**(52): 15831-15843.
- 52- Wagner, A., K. Vorauer-Uhl, and H. Katinger, 2002, Liposomes produced in a pilot scale: production, purification and efficiency aspects. *European journal of pharmaceutics and biopharmaceutics*. **54**(2): p. 213-219.
- 53- Wengler, G., et al. (2003), Entry of alphaviruses at the plasma membrane converts the viral surface proteins into an ion-permeable pore that can be detected by electrophysiological analyses of whole-cell membrane currents. *Journal of general virology*, 1.(84) p. 173-181
- 54- Xue, M., L. Cheng, et al. (2018). "Molecular Mechanism of Lipid Nanodisc Formation by Styrene Maleic Acid Copolymers." *Biophysical Journal*.
- 55- Xiang, T.-X. and B.D. Anderson, Liposomal drug transport: a molecular perspective from molecular dynamics simulations in lipid bilayers. *Advanced drug delivery reviews*, 2006. **58**(12): p. 1357-1378.
- 56- Zhang, M., et al., 2015., HDL surface lipids mediate CETP binding as revealed by electron microscopy and molecular dynamics simulation. *Scientific reports*. **5**: p. 8741

# A nanodisc structure design from sphingomyelin of chicken egg phospholipid (DPSM) and cholesterol (CHOL) and its formation study: a coarse-grained molecular dynamics simulation

Parchekani Choozaki J. and Taghdir M.

Dept. of Biophysics, Faculty of Biological Sciences, Tarbiat Modares University, Tehran, I.R. of Iran

## Abstract

Double-layer nanodiscs are structures made up of phospholipids double-layer membrane and do not exist between the double-layer of any contents or water molecules. Quadruple nanodiscs are actually like a normal cell that pushes on both sides of the body, such as the red blood cell structure that is pushing on both sides. The structure of nanodisc can cover water-soluble drugs in its hydrophilic superficial and fat-soluble drugs within its two layers, which is a hydrophobic environment. Synthesis of nanodiscs in experimental environments is time-consuming and costly. Therefore, in this research, the nanodisc structures from Egg sphingomyelin (DPSM) and Cholesterol (CHOL) molecules were designed and constructed. In order to do this goal, a molecular dynamics simulation approach was used. The results and analyses obtained from the simulations showed that selective molecules created a nanodiscs structure that resulted from the physicochemical properties of the DSPC and cholesterol molecules. It should be noted that the DSPC molecule has a cone-shaped geometric structure as well as a larger group than other lipids, which makes the molecule's tendency increase to create a nanodisc structure. The cholesterol molecule is located in the DPSM phospholipids and interacts with them. This feature of the cholesterol molecule increases the stability of the nanodiscs structures. Energy analyzes including total energy, van der Waals and electrostatic interactions energy showed that the created nanodisc structures, suitably reached to final structural stability.

**Key words:** molecular dynamics simulation, nanodisc, the formation of nanodiscs, cholesterol, phospholipid